

7. Алексеев В. Д., Григорян С. С., Кошелев Л. И., Новгородов А. Ф., Рыков Г. В. Измерение волн напряжений в мягких грунтах.— ПМТФ, 1963, № 2.
8. Григорян С. С., Ляхов Г. М., Мельников В. В., Рыков Г. В. Взрывные волны в лесовидном грунте.— ПМТФ, 1963, № 4.
9. Рыков Г. В. Экспериментальное исследование поля напряжений при взрыве в песчаном грунте.— ПМТФ, 1964, № 1.
10. Рыков Г. В. Влияние скорости деформирования на сжимаемость и сдвиг песчаных и глинистых грунтов при кратковременных нагрузках.— ПМТФ, 1969, № 3.
11. Рыков Г. В. Экспериментальные исследования сжимаемости глинистых грунтов при подземных взрывах.— ПМТФ, 1968, № 2.
12. Котов А. И., Нарожная З. В., Рыков Г. В., Сутырин В. П. Экспериментальные исследования сжимаемости песчаных грунтов и условия пластичности при кратковременных динамических нагрузках.— ПМТФ, 1976, № 5.
13. Ляхов Г. М. Основы динамики взрывных волн в грунтах и горных породах. М., «Недра», 1974.

УДК 539.374

## К ТЕОРИИ УСТОЙЧИВОСТИ СЖИМАЕМОГО УПРУГОПЛАСТИЧЕСКОГО ГРУНТА

А. Н. Спорышин

(Воронеж)

На основании трехмерных линеаризованных уравнений устойчивости исследуется процесс деформирования сжимаемого упругопластического грунта при малых докритических деформациях. В случае однородного докритического состояния общие решения уравнений устойчивости строятся аналогично [1].

1. Рассмотрим сжимаемый упругопластический грунт, физические уравнения которого определяем, следуя [2]. Предположим, что условие предельного состояния материала представлено в виде

$$(1) \quad \Phi(\sigma, \Sigma_2, \Sigma_3) = 0,$$

где  $\sigma$  — первый инвариант тензора напряжений;  $\Sigma_2, \Sigma_3$  — второй и третий инварианты девиатора тензора напряжений. Пусть при этом

$$(2) \quad e_{ij} = e_{ij}^e + e_{ij}^p$$

( $e_{ij}$  — компоненты тензоров деформаций), причем упругие деформации связаны с напряжениями законом Гука

$$(3) \quad e_{ij}^e = \frac{1+\nu}{E} \sigma_{ij} - \frac{\nu}{E} \sigma_{kk} \delta_{ij}.$$

Соотношения, определяющие зависимость между тензором скоростей пластических деформаций и напряжениями, примем в форме [2]

$$(4) \quad \dot{\varepsilon}_{ij}^p = \lambda \left[ \frac{1}{3} \frac{\partial \Phi}{\partial \sigma} \delta_{ij} + \frac{\partial \Phi}{\partial \Sigma_2} \frac{\partial \Sigma_2}{\partial \sigma_{ij}} + \frac{\partial \Phi}{\partial \Sigma_3} \frac{\partial \Sigma_3}{\partial \sigma_{ij}} \right] + \dot{\psi}(\sigma) \sigma \delta_{ij}.$$

Здесь

$\sigma = \frac{1}{3} \frac{d\sigma_{kk}}{dt}$ ;  $\dot{\psi}(\sigma) = \frac{d\psi}{d\sigma}$ ;  $e = \frac{1}{3} e_{kk}$ ;  $\psi(\sigma) - e = 0$  — функция объемного нагружения, которая полностью определяется из экспериментов на всестороннее равномерное растяжение — сжатие;  $\lambda \geq 0$  — неопределенный множитель.

Полные деформации связаны с перемещениями формулами Коши

$$(5) \quad e_{ij} = \frac{1}{2} (u_{i,j} + u_{j,i}).$$

Уравнения равновесия при отсутствии массовых сил и граничные условия при заданных на поверхности тела силах примем в виде [3]

$$(6) \quad [\sigma_{jk} (\delta_{ik} + u_{i,k})]_{,j} = 0, \quad [\sigma_{jk} (\delta_{ik} + u_{i,k})] n_j = P_i,$$

где  $n_j$  — орты нормали к поверхности тела;  $P_i$  — составляющие поверхностных сил.

Пусть решение системы уравнений (1)–(6) есть

$$\sigma_{ij}^0(x_k, t), e_{ij}^0(x_k, t), e_{ij}^{0\nu}(x_k, t), u_i^0(x_k, t), \dots$$

В дальнейшем исследуется устойчивость этого процесса по отношению к малым возмущениям.

Представим величины, связанные с возмущенной формой движения, в виде

$$\sigma_{ij} = \sigma_{ij}^0 + \sigma_{ij}^+, e_{ij} = e_{ij}^0 + e_{ij}^+, e_{ij}^p = e_{ij}^{0p} + e_{ij}^{+p}, \dots$$

Компоненты характеристик возмущенного движения никаким индексом не отмечены, а возмущения отмечены индексом +. Тогда с точностью до линейных членов разложения (1) дает

$$(7) \quad \left(\frac{\partial \Phi}{\partial \sigma}\right)_0 \sigma^+ + \left(\frac{\partial \Phi}{\partial \Sigma_2}\right)_0 \Sigma_2^+ + \left(\frac{\partial \Phi}{\partial \Sigma_3}\right)_0 \Sigma_3^+ = 0,$$

$$\text{где} \quad 3\sigma^+ = \sigma_{kk}^+; \Sigma_2^+ = 2s_{ij}^0 s_{ij}^+; \Sigma_3^+ = 3s_{ij}^+ s_{jp}^0 s_{pi}^0.$$

Из соотношений (2), (3) имеем

$$(8) \quad e_{ij}^+ = e_{ij}^{+e} + e_{ij}^{+p}, \quad e_{ij}^{+e} = \frac{1+\nu}{E} \sigma_{ij}^+ - \frac{\nu}{E} \sigma_{kk}^+ \delta_{ij}.$$

Ассоциированный закон течения (4) принимает вид

$$(9) \quad e_{ij}^{+p} = \lambda_0 \xi_{ij}^+ + \lambda^+ \frac{\partial \Phi^0}{\partial \sigma_{ij}^0} + \eta^+ \delta_{ij},$$

где

$$(10) \quad \xi_{ij}^+ = \frac{1}{3} \left\{ \frac{\partial^2 \Phi}{\partial \sigma^2} \sigma^+ + \left[ 2 \frac{\partial^2 \Phi}{\partial \sigma \partial \Sigma_2} s_{kl}^0 + 3 \frac{\partial^2 \Phi}{\partial \sigma \partial \Sigma_3} p_{lk}^0 \right] s_{kl}^+ \right\} \delta_{ij} +$$

$$+ 2 \left\{ \frac{\partial^2 \Phi}{\partial \Sigma_2 \partial \sigma} \sigma^+ + \left[ 2 \frac{\partial^2 \Phi}{\partial \Sigma_2^2} s_{kl}^0 + 3 \frac{\partial^2 \Phi}{\partial \Sigma_2 \partial \Sigma_3} p_{lk}^0 \right] s_{kl}^+ \right\} s_{ij}^0 + 2 \frac{\partial \Phi}{\partial \Sigma_2} s_{ij}^+ +$$

$$+ 3 \left\{ \frac{\partial^2 \Phi}{\partial \Sigma_3 \partial \sigma} \sigma^+ + \left[ 2 \frac{\partial^2 \Phi}{\partial \Sigma_3 \partial \Sigma_2} s_{kl}^0 + 3 \frac{\partial^2 \Phi}{\partial \Sigma_3^2} p_{lk}^0 \right] s_{kl}^+ \right\} p_{ij}^0 +$$

$$+ 3 \frac{\partial \Phi}{\partial \Sigma_3} s_{pi}^0 s_{jp}^+; \quad p_{lk}^0 = s_{cp}^0 s_{pk}^0;$$

$$\lambda_0 = \left[ \delta \left( \varepsilon_{ij}^{0\nu} \varepsilon_{ij}^{0p} - \frac{1}{3} \varepsilon_{kk}^{0p} \varepsilon_{kk}^{0p} \right) \right]^{1/2}; \quad \lambda^+ = \delta \left[ \varepsilon_{mn}^{+p} - \frac{1}{3} \varepsilon_{kk}^{+p} \delta_{mn} - \right.$$

$$\left. - \lambda_0 \left( \xi_{mn}^+ - \frac{1}{3} \xi_{kk}^+ \delta_{mn} \right) \right] \frac{\partial \Phi^0}{\partial \sigma_{mn}^0};$$

$$\delta = \left[ \frac{\partial \Phi^0}{\partial \sigma_{mn}^0} \frac{\partial \Phi^0}{\partial \sigma_{mn}^0} - \frac{1}{3} \left( \frac{\partial \Phi^0}{\partial \sigma^0} \right)^2 \right]^{-1}; \quad \eta^+ = \psi(\sigma_0) \dot{\sigma}^+ + \left( \frac{\partial \psi}{\partial \sigma} \right)_0 \dot{\sigma}^0 \sigma^+.$$

Для  $e_{ij}^+$  получаем

$$(11) \quad 2e_{ij}^+ = u_{i,j}^+ + u_{j,i}^+.$$

Линеаризованные уравнения равновесия и граничные условия имеют вид [3, 4]

$$(12) \quad (\sigma_{ij}^+ + \sigma_{jk}^0 u_{i,k}^+),_j - \rho \ddot{u}_i^+ = 0, \quad (\sigma_{ij}^+ + \sigma_{jk}^0 u_{i,k}^+) n_j = P_i^+.$$

Методом [5] можно аналогичным образом свести краевую задачу (7) — (12) к исследованию системы дифференциальных уравнений с постоянными коэффициентами, и, таким образом, исследование устойчивости решения системы (7) — (12) будем производить по предельной системе уравнений.

В этом случае (9) принимает вид

$$(13) \quad \varepsilon_{ij}^{+p} = \lambda^+ \frac{\partial \Phi^0}{\partial \sigma_{ij}^0} + \eta^+ \delta_{ij},$$

при этом

$$(14) \quad \eta^+ = \psi(\sigma_0) \dot{\sigma}^+, \quad \lambda^+ = \delta \left( \varepsilon_{mn}^{+p} - \frac{1}{3} \varepsilon_{kl}^{+p} \delta_{mn} \right) \frac{\partial \Phi^0}{\partial \sigma_{mn}^0}.$$

Остальные соотношения систем уравнений (7) — (12) сохраняют прежний вид с той лишь разницей, что величины с индексом нуль, входящие в них, — некоторые стационарные величины. Очевидно, полученные выше результаты можно распространить на случай, когда функция нагружения выбрана в более общем виде [6]

$$\Phi(\sigma, \Sigma_2, \Sigma_3, e^p, E_2^p, E_3^p, \Pi_2, \Pi_{12}, \Pi_{21}, k_i) = 0.$$

Для определенности выберем характерное для сыпучих сред условие пластичности

$$(15) \quad \Phi = \alpha \sigma^0 + \sqrt{\frac{1}{2} \Sigma_2^0} - k = 0.$$

Уравнение (7) в этом случае запишем в виде

$$(16) \quad 2\alpha(k - \alpha \sigma^0) \sigma^+ + s_{ij}^0 s_{ij}^+ = 0.$$

Уравнения (13) с учетом (14) для условия пластичности (15) примут вид

$$(17) \quad \varepsilon_{ij}^{+p} = \frac{s_{mn}^0}{k - \alpha \sigma^0} \left( \varepsilon_{mn}^{+p} - \frac{1}{3} \varepsilon_{kl}^{+p} \delta_{mn} \right) \left[ \frac{s_{ij}^0}{2(k - \alpha \sigma^0)} + \frac{\alpha}{3} \delta_{ij} \right] + \psi(\sigma_0) \dot{\sigma}^+ \delta_{ij}.$$

Исключая из соотношений (8), (16) и (17) величины  $e_{ij}^{+e}$ ,  $e_{ij}^{+p}$ ,  $\sigma^+$ , после ряда преобразований можно получить

$$(18) \quad \frac{1+\nu}{E} \sigma_{ij}^+ = e_{ij}^+ - \left( a s_{ij}^0 + \frac{1}{3} \delta_{ij} \right) e_{mn}^+ + c \left[ a(b - 3\psi(\sigma_0)) s_{ij}^0 - \frac{1+\nu}{E} \delta_{ij} \right] [2\alpha^2 a s_{kl}^0 e_{kl}^+ - e_{mn}^+],$$

где

$$a = 2\alpha(k - \alpha \sigma^0); \quad b = 3(2\nu - 1)E^{-1}; \quad c = E[2\alpha^2(1 + \nu) - E(b - 3\psi(\sigma_0))]^{-1}.$$

Рассмотрим случай основного напряженного состояния в виде

$$\sigma_{ii}^0 = \text{const}_i, \quad \sigma_{ij}^0 = 0, \quad i \neq j.$$

Линеаризованные трехмерные уравнения движения (12) в этом случае можно представить в форме

$$(19) \quad \{\sigma_{ij} - [q(\delta_{j1} u_{i,1} + \delta_{j2} u_{i,2}) + p \delta_{i3} u_{i,3}]\}_j - \rho s^2 u_i = 0,$$

граничные условия в виде

$$(20) \quad \{\sigma_{ij} - [q(\delta_{j1}u_{i,1} + \delta_{j2}u_{i,2}) + p\delta_{j3}u_{i,3}]\}n_j = P_i.$$

Здесь и далее в компонентах векторов и тензоров, характеризующих возмущения, выделен временный множитель  $\exp st$ , а для амплитудных величин возмущений индекс  $+$  опущен. При записи (19), (20) принято, что упругопластическое тело сжато вдоль оси  $Ox_3$  усилиями интенсивности  $p$ , а вдоль осей  $Ox_1$  и  $Ox_2$  — усилиями интенсивности  $q$ .

Линеаризованная связь (18) между напряжениями и деформациями для сжимаемого упругопластического грунта для случая основного движения, описанного выше, может быть представлена в форме

$$(21) \quad \begin{aligned} \sigma_{ij} &= \delta_{ij}a_{jk}u_{k,k} + (1 - \delta_{ij})G_{ij}(u_{i,j} + u_{j,i}), \quad (\Sigma k), \\ a_{jl} &= \frac{E}{1+\nu} \delta_{jl} + (2\alpha^2 a s_{ll}^0 - 1) B_{jj} - A_{jj}, \quad G_{ij} = \frac{E}{2(1+\nu)}, \\ A_{ij} &= \frac{E}{1+\nu} \left( a s_{ij}^0 + \frac{1}{2} \delta_{ij} \right), \quad B_{ij} = \frac{cE}{1+\nu} \left[ a(b - 3\psi(\sigma_0)) s_{ij}^0 - \frac{1+\nu}{E} \delta_{ij} \right]. \end{aligned}$$

Очевидно,

$$a_{11} = a_{22}, \quad a_{13} = a_{23}, \quad G_{ij} = \frac{E}{2(1+\nu)} = G.$$

Следовательно, выражения (21) можно рассматривать как соотношения закона Гука для трансверсально-изотропного тела, при этом плоскость изотропии совпадает с плоскостью  $x_1 O x_2$ .

Подстановка выражений (21) в уравнения (19) приводит к системе уравнений в амплитудах перемещений

$$(22) \quad L_{ij}u_j = 0.$$

Дифференциальные операторы  $L_{ij}$  имеют вид

$$L_{ij} = \delta_{ij} \left( \bar{M}_{in} \frac{\partial^2}{\partial x_n^2} - \rho s^2 \right) + (1 - \delta_{ij}) F_{ij} \frac{\partial^2}{\partial x_i^2 \partial x_j^2}, \quad (\Sigma i, j; \Sigma n);$$

$$M_{in} = \{a_{ii} - q(\delta_{1n} - \delta_{2n}) - p\delta_{3n} \quad (i = n); \quad G_{in} - q(\delta_{1n} - \delta_{2n}) - p\delta_{3n} \quad (i \neq n)\}, \\ F_{ij} = a_{ij} + G_{ij}.$$

Для полученных уравнений (22), как и в [1], аналогичным образом могут быть построены общие решения в инвариантном виде.

Для цилиндрического тела с криволинейным контуром поперечного сечения общее решение уравнений устойчивости запишем в виде

$$(23) \quad \begin{aligned} u_n &= \frac{\partial}{\partial \tau} \Psi - \frac{\partial^2}{\partial n \partial x_3} \chi, \quad u_\tau = -\frac{\partial}{\partial n} \Psi - \frac{\partial^2}{\partial \tau \partial x_3} \chi, \\ u_3 &= \frac{a_{11}}{F_{23}} \left( \Delta + \frac{G}{a_{11}} \frac{\partial^2}{\partial x_3^2} - \rho s^2 \right) \chi, \quad \Delta = \frac{\partial^2}{\partial x_1^2} + \frac{\partial^2}{\partial x_2^2}, \end{aligned}$$

где  $n$  и  $\tau$  — нормаль и касательная к контуру поперечного сечения.

Функции  $\Psi$  и  $\chi$  определяются из уравнений

$$(24) \quad \begin{aligned} \left( \Delta + \frac{\partial^2}{\partial x_3^2} - \frac{\rho s^2}{G} \right) \Psi &= 0, \quad \left[ \left( a_{11} \Delta + G \frac{\partial^2}{\partial x_3^2} - \rho s^2 \right) \times \right. \\ &\times \left. \left( G \Delta + a_{33} \frac{\partial^2}{\partial x_3^2} - \rho s^2 \right) - F_{13} F_{31} \Delta \frac{\partial^2}{\partial x_3^2} \right] \chi = 0. \end{aligned}$$

В квазистатической постановке ( $s = 0$ ) функции  $\Psi$  и  $\chi$  являются решениями уравнений

$$(25) \quad \left( \Delta + \frac{\partial^2}{\partial x_3^2} \right) \Psi = 0, \quad \left[ \Delta^2 + (\xi_2^2 + \xi_3^2) \Delta \frac{\partial^2}{\partial x_3^2} + \xi_2^2 \xi_3^2 \frac{\partial^4}{\partial x_3^4} \right] \chi = 0,$$

где постоянные  $\xi_i^2$  имеют вид

$$\xi_{2,3}^2 = \frac{a_{11}a_{33} + G^2 - F_{13}F_{31}}{2a_{11}G} \pm \left[ \left( \frac{a_{11}a_{33} + G^2 - F_{13}F_{31}}{2a_{11}G} \right)^2 - \frac{a_{33}}{a_{11}} \right]^{1/2}.$$

Если в соотношениях (23)–(25) положить, что для  $a_{ij}$  в выражении (21)  $a = 0$  и  $c = b^{-1}$ , ( $\alpha = 0$ ,  $\psi(0_0) = 0$ ), то приходим к результатам работы [1].

Приведенные решения по аналогии с результатами, полученными для упругих, вязкоупругих, упругопластических [1] и упруговязкопластических [7] тел при малых однородных докритических деформациях, позволяют получить характеристические определители для ряда задач.

Так, в случае бесконечно длинной в направлении  $Ox_1$  пластинки толщиной  $2h$  и длиной  $l$  при сжатии ее вдоль оси  $Ox_3$  «мертвой» нагрузкой интенсивности  $p$  обычным образом получаем характеристический определитель в виде

$$(26) \quad \left( \xi_1^2 \xi_2^2 - \frac{a_{33}}{a_{32}} \frac{a_{33}^2 - a_{32}^2 - a_{32}G}{a_{22}G} \right) (\xi_1 \operatorname{sh} \alpha \xi_1 \operatorname{ch} \alpha \xi_2 - \xi_2 \operatorname{sh} \alpha \xi_2 \operatorname{ch} \alpha \xi_1) - \\ - \frac{a_{33}^2 - a_{32}^2 - a_{32}G}{a_{22}G} \xi_1 \xi_2 (\xi_2 \operatorname{sh} \alpha \xi_1 \operatorname{ch} \alpha \xi_2 - \xi_1 \operatorname{sh} \alpha \xi_2 \operatorname{ch} \alpha \xi_1) + \\ + \frac{a_{33}}{a_{32}} (\xi_1^3 \operatorname{sh} \alpha \xi_1 \operatorname{ch} \alpha \xi_2 - \xi_2^3 \operatorname{sh} \alpha \xi_2 \operatorname{ch} \alpha \xi_1) = 0, \quad \alpha = \frac{\pi h}{l}.$$

Полученное решение можно использовать [8] для определения устойчивых размеров протяженных (ленточных) целиков в сжимаемом упругопластическом грунтовой массе. В этом случае  $p = \gamma H L (2h)^{-1}$ , где  $\gamma$  — объемный вес породы;  $H$  — расстояние от земной поверхности до кровли камер;  $L$  — основание столба пород, давящих на целик.

В случае поверхностной неустойчивости при условии, что потеря устойчивости происходит в рамках плоской деформации в плоскости  $x_3 O x_2$ , характеристическое уравнение имеет вид

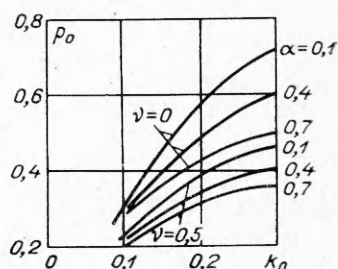
$$(27) \quad (\xi_1 - \xi_2) \left[ \xi_1^2 \xi_2^2 + \frac{a_{33}}{a_{32}} (\xi_1^2 + \xi_2^2) + \xi_1 \xi_2 \left( \frac{a_{22}a_{33} - a_{32}^2 - a_{32}G}{a_{22}G} + \frac{a_{33}}{a_{32}} \right) - \right. \\ \left. - \frac{a_{33}}{a_{32}} \frac{a_{22}a_{33} - a_{32}^2 - a_{32}G}{a_{22}G} \right] = 0.$$

Постоянные  $\xi_i^2$  в (26), (27) имеют вид

$$\xi_{1,2}^2 = \frac{a_{33}^2 - (a_{32} + G)^2 + (G - p)G}{2a_{32}G} \pm \left\{ \left[ \frac{a_{33}^2 - (a_{32} + G)^2 + (G - p)G}{2a_{32}G} \right]^2 - \frac{a_{33}(G - p)}{a_{32}G} \right\}^{1/2}.$$

Уравнение (27) решалось численно при различных значениях  $k_0$ ,  $\alpha$ ,  $\nu$ , где  $k_0 = kE^{-1}$  — предел текучести;  $\alpha$  — скорость дилатансии ( $\alpha = \operatorname{tg} \rho$ ,  $\rho$  — угол внутреннего трения, в частности для песка  $\rho = 26-40^\circ$ , откуда  $\alpha = 0,49-0,82$ );  $\nu$  — коэффициент Пуассона;  $E$  — модуль упругости. Для определения функции, характеризующей объемное сжатие  $\psi(\sigma_0)$ ,

связь между  $\sigma$  и  $\varepsilon$  выбиралась линейной  $\sigma = \sigma_{\max} \varepsilon$ , что, согласно [9], характерно для сыпучих сред, в частности для песка. На фигуре показана зависимость критического давления  $p_0 = pE^{-1}$  от предела текучести  $k_0$  при значениях коэффициента Пуассона  $\nu = 0; 0,5$  и скорости дилатансии  $\alpha = 0,1; 0,4; 0,7$ , характерной для сыпучих сред (песка, гравия и т. п.).



Расчет показал, что влияние  $\nu$  и  $\alpha$  в указанных выше пределах на величину критической силы значительно. Однако получающиеся при этом числовые значения критических нагрузок нереальны, следовательно, поверхностная неустойчивость практически не наблюдается.

Поступила 21 IX 1976

#### ЛИТЕРАТУРА

1. Гузь А. Н. Устойчивость трехмерных деформируемых тел. Киев, «Наукова думка», 1971.
2. Ивлев Д. Д. Теория идеальной пластичности. М., «Наука», 1966.
3. Болотин В. В. Неконсервативные задачи теории упругой неустойчивости. М., Физматгиз, 1961.
4. Новожилов В. В. Основы нелинейной теории упругости. М., Гостехиздат, 1948.
5. Спорыхин А. Н. Об устойчивости деформирования упруговязкопластических тел. — ПМТФ, 1967, № 4.
6. Ивлев Д. Д., Быковцев Г. И. Теория упрочняющегося пластического тела. М., «Наука», 1971.
7. Спорыхин А. Н., Трофимов В. Г. Задачи устойчивости упруговязкопластических тел. — ПМТФ, 1973, № 4.
8. Алимжанов М. Т., Ершов Л. И. Устойчивость равновесия тел и некоторых задач теории горного давления. Проблемы механики твердого деформированного тела. Л., «Судостроение», 1970.
9. Роу П. Теоретический смысл и наблюдаемые величины деформационных параметров грунта. — В кн.: Механика. Новое в зарубежной науке. М., «Мир», 1975.

УДК 539.37

### О ВАРИАЦИОННОМ МЕТОДЕ РЕШЕНИЯ ЗАДАЧ ПЛАСТИЧНОСТИ СЖИМАЕМЫХ СРЕД

И. С. Дегтярев

(Пермь)

Используемые в теории пластического течения вариационные методы сформулированы на допущении о несжимаемости деформируемой среды. При решении задач механики грунтов, сыпучих сред, а также технологических вопросов пластической обработки некомпактных материалов принципиальное значение имеет учет необратимого объемного изменения.

В работах [1, 2] доказаны экстремальные и вариационные теоремы для дилатирующих жесткопластических и вязкопластических тел. Ниже для сжимаемого пластического тела выводится вариационное уравнение, эквивалентное полной системе дифференциальных уравнений.

Рассмотрим материальную среду с уравнениями состояния

$$(1) \quad S_{ij} = 2g_1(\sigma, H) \varepsilon_{ij}^*, \quad \rho = \varphi(\sigma), \quad \varepsilon_{ij}^* = \varepsilon_{ij} - \frac{1}{3} \varepsilon \delta_{ij},$$

где  $S_{ij}$ ,  $\varepsilon_{ij}^*$  — соответственно компоненты девиаторов напряжений и скоростей деформаций;  $g_1(\sigma, H)$ ,  $\varphi(\sigma)$  — функции материала;  $\rho$  — плотность